

## ПИННИНГ НА ГРАНИЦАХ ДВОЙНИКОВАНИЯ И ПИК-ЭФФЕКТ В ВЫСОКОТЕМПЕРАТУРНЫХ СВЕРХПРОВОДНИКАХ YBCO

*И. Ф. Волошин\**, *А. В. Калинов\**, *К. И. Кугель\*\**,  
*А. Л. Рахманов\*\**, *Л. М. Фишер\**

\* Государственный научный центр «Всероссийский электротехнический институт»  
111250, Москва, Россия

\*\* НИЦ Прикладных проблем электродинамики Российской академии наук  
127412, Москва, Россия

Поступила в редакцию 8 октября 1996 г.

Представлены результаты измерений мнимой части динамической магнитной восприимчивости в монокристаллах и плавленых образцах  $YBa_2Cu_3O_x$  (YBCO) при  $T = 77$  К в диапазоне магнитных полей 1–20 кЭ. Показано, что при вращении постоянного магнитного поля  $H_{dc}$  в кристаллографической плоскости  $ab$  образца угловые зависимости магнитной восприимчивости и критической плотности тока  $j_c$  имеют пики при ориентации поля вдоль плоскостей двойникования. В окрестности этих пиков наблюдается пик-эффект в магнитополовой зависимости  $j_c$ , при этом в широкой области полей  $j_c \propto \sqrt{H_{dc}}$ . Полученные результаты интерпретированы в рамках теории, в которой двойники рассматриваются как система квазипланарных центров пиннинга. Сильный пиннинг возникает, если упругие смещения вихрей становятся порядка параметра вихревой решетки  $d_f$ . С ростом магнитного поля эти смещения убывают, так как убывает  $d_f$ , соответственно снижается вклад упругой энергии в потенциал Гиббса, что и является причиной пик-эффекта.

### 1. ВВЕДЕНИЕ

Электромагнитные свойства высокотемпературных сверхпроводников (ВТСП) в смешанном состоянии имеют ряд специфических особенностей [1]. Так, во многих ВТСП-материалах наблюдается сильная анизотропия критической плотности тока  $j_c$ , связанная не только с направлением вектора транспортного тока  $\mathbf{j}$ , но и с направлением внешнего магнитного поля  $\mathbf{H}$ , т. е. при одном и том же направлении  $\mathbf{j}$  величина  $j_c$  сильно зависит от направления  $\mathbf{H}$ , и эта анизотропия не всегда напрямую связана с кристаллической симметрией образца. Другой интересующей нас здесь особенностью ВТСП является часто наблюдающаяся немонотонная зависимость  $j_c(H)$  с характерным пик-эффектом в области полей  $H \ll H_{c2}$ , где  $H_{c2}$  — верхнее критическое поле.

Кристаллическая структура YBCO такова, что даже весьма высококачественные монокристаллы содержат довольно большое число границ двойникования, ориентированных параллельно кристаллографической плоскости [110] (т. е. вдоль оси  $c$  под углом  $45^\circ$  к осям  $a$  и  $b$ ). Поэтому изучению влияния двойников на свойства ВТСП в смешанном состоянии посвящены многие экспериментальные и теоретические работы [2–16]. Однако до сих пор не ясен вклад границ двойникования в такие макроскопические характеристики сверхпроводника, как  $j_c$ . Отчасти трудности связаны с проблемой изготовления монокристаллов без двойников. Как правило, сначала изготавливается обычный кристалл, а затем границы двойникования устраняются с помощью специальной

обработки (см., например, [17]). При этом остается неясным, исчезают ли вместе с двойником локализовавшиеся в его окрестности дефекты. Остается открытым вопрос, являются ли границы двойникования сильными центрами пиннинга, препятствующими движению магнитного потока в образце, или, наоборот, слабыми связями, которые служат каналами для входа вихрей в образец. Данные, полученные разными методами, противоречат друг другу. Так, магнитооптические (по эффекту Фарадея) [4, 5], магнитомеханические [6] измерения и измерения магнитного момента [7] показывают, что границы двойникования являются эффективными центрами пиннинга, если магнитное поле ориентировано в плоскости двойникования. В то же время подобные измерения, выполненные в других работах (измерения по эффекту Фарадея [8] и магнитному моменту [9, 10]), приводят авторов к противоположному выводу. Столь же противоречивы данные разных групп о связи границ двойникования с появлением пик-эффекта в ВТСП (возьмем для сравнения данные работы [11], где такая связь отмечается, и [12], в которой связи между границами двойникования и пик-эффектом не обнаружено).

Расхождения в результатах различных авторов могут быть, по нашему мнению, связаны со следующими причинами. Во-первых, в зависимости от свойств образца и величины магнитного поля двойник может быть и центром пиннинга, и каналом для проникновения вихрей. Во-вторых, во многих экспериментах, посвященных изучению влияния границ двойникования на свойства ВТСП, для исследования анизотропии критического тока изменяется угол между постоянной компонентой внешнего поля  $H_{dc}$  и осью  $c$  [7, 9, 10, 12]. Для такой геометрии эксперимента большой вклад от кристаллографической анизотропии вдоль оси  $c$  и в плоскости  $ab$  [11] (а также большой размагничивающий фактор самого образца, размер которого вдоль оси  $c$  обычно много меньше размеров вдоль  $a$  и  $b$ ) может маскировать анизотропию, связанную с наличием собственно границ двойникования.

В этой статье мы представляем результаты, которые демонстрируют сильную анизотропию критического тока в случае, когда  $H_{dc}$  вращается в плоскости  $ab$ , а угол между осью  $c$  и вектором постоянного поля удерживается постоянным и равным  $90^\circ$ . Для ряда образцов проведены измерения критической плотности тока при изменении угла между осью  $c$  и  $H_{dc}$ . В эксперименте измерялась низкочастотная динамическая магнитная восприимчивость образцов, а критическая плотность тока рассчитывалась из данных измерений с помощью модели критического состояния (методика эксперимента и расчета описаны в работе [18]).

Теоретические работы, посвященные изучению пиннинга на двойниках можно разделить на две группы. В первой исследуется величина элементарной силы пиннинга, связанной с наличием границ двойникования [13]. Во второй группе работ исследован захват границами двойникования наклонных вихрей (так называемый *lock-in-переход*) [14, 15]. В этих работах фактически изучается пиннинг отдельных вихрей и лишь бегло обсуждается роль межвихревого взаимодействия. Несколько особняком здесь стоит работа [16], в которой двойник рассматривается как скопление точечных дефектов, а расчет критического тока проведен для случая магнитного поля, параллельного двойникам.

В нашей работе использован теоретический подход, несколько отличный от предложенных ранее. Мы учитываем одновременно сдвиговую и изгибную деформации вихревой решетки и пиннинг вихрей на границах двойникования. Теория предсказывает наличие пик-эффекта на кривой  $j_c(H_{dc})$  для пиннинга на двойниках при малых углах между границами двойникования и магнитным полем. В широком диапазоне парамет-

ров  $j_c \propto \sqrt{H_{dc}}$ , что хорошо согласуется с результатами наших измерений.

В разд. 2 приведены характеристики образцов, на которых проводились измерения. Методика измерений и расчета критической плотности тока кратко описана в разд. 3. Там же описаны результаты эксперимента. В разд. 4 изложена теоретическая часть работы. Результаты обсуждаются в разд. 5.

## 2. ОБРАЗЦЫ

Измерения проводились на монокристаллах, а также на плавленных образцах с высокой степенью текстуры. Для первой серии измерений использовались три монокристалла  $YBa_2Cu_3O_x$  размерами  $2.4 \times 1.2 \times 0.06$  мм<sup>3</sup>,  $1.4 \times 0.8 \times 0.04$  мм<sup>3</sup> и  $1.1 \times 0.6 \times 0.04$  мм<sup>3</sup>. Далее мы будем называть эти образцы соответственно Y1, Y2 и Y6. Температура начала сверхпроводящего перехода  $T_{c0}$ , которая определялась по изменению действительной части магнитной восприимчивости, равна 91.3 К для Y1 и 91.5 К для Y2 и Y6. Отметим, что определенная таким образом величина  $T_{c0}$  примерно на 1 К ниже, чем полученная четырехконтактным методом. Ширина перехода  $\Delta T_c$ , определенная стандартным для магнитных измерений образом как разница между  $T_{c0}$  и температурой пика мнимой части магнитной восприимчивости, была равна примерно 0.3 К для всех образцов. Столь малая ширина перехода свидетельствует о достаточно высоком качестве использованных кристаллов.

Исследованные монокристаллы характеризовались качественно различной структурой расположения двойников. Обычно монокристаллы YBCO состоят из малых областей (доменов), внутри которых границы двойникового параллельны друг другу [4, 19]. Ориентация границ двойникового в соседних доменах взаимно ортогональна (направления  $[110]$  и  $[\bar{1}\bar{1}0]$ ). Двойниковая структура наших образцов была отчетливо видна в обычный оптический микроскоп: при определенных углах падения света видны параллельные линии, составляющие с гранями образца угол около 45°. Образец Y1 содержал примерно равное количество доменов с различной ориентацией границ двойникового, тогда как образцы Y2 и Y6 представляли собой практически монодоменные блоки, в которых доля объема, содержащая ортогональные двойниковые плоскости не превышала 5%. Плотность границ двойникового определялась с помощью просвечивающего электронного микроскопа. Характерное расстояние между двойниками составляло около 0.5 мкм.

Плавленный текстурированный образец Sp1 был вырезан из массивной заготовки  $YBa_2Cu_3O_x$  (диаметр 8 мм, длина 3 см) и имел размеры  $6 \times 2.3 \times 0.55$  мм<sup>3</sup>. Плоскость  $ab$  была параллельна большей поверхности образца. Образец тестировался на наличие в нем слабых связей с помощью измерения зависимости динамической магнитной восприимчивости от амплитуды переменного магнитного поля при  $H_{dc} = 0$ . Измерения показали, что в образце Sp1 отсутствует заметное количество слабых связей.

## 3. ЭКСПЕРИМЕНТ

### 3.1. Методика и результаты измерений восприимчивости

Исследования проводились бесконтактным методом с помощью измерения низкочастотной магнитной восприимчивости  $\chi = \chi' + i\chi''$  индуктивным методом. Воспри-

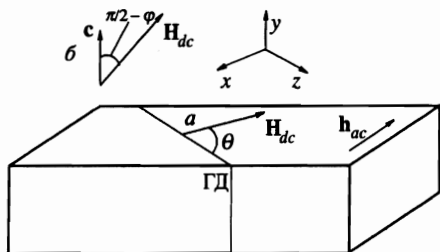


Рис. 1. Геометрия эксперимента: *a* — вращение постоянного магнитного поля в плоскости *ab*; *b* — вращение поля от плоскости *ab* к оси *c* (ГД — граница двойникования)

имчивость  $\chi$  может быть определена из общего выражения для намагниченности  $M$  образца в переменном магнитном поле  $h = h_0 \cos \omega t$ :

$$M(t) = h_0 \sum_{n=1}^{\infty} \operatorname{Re}(\chi_n e^{in\omega t}) = h_0 \sum_{n=1}^{\infty} [\chi'_n \cos(n\omega t) + \chi''_n \sin(n\omega t)]. \quad (1)$$

Везде далее под величинами  $\chi'$  и  $\chi''$  мы будем понимать соответственно  $\chi'_1$  и  $\chi''_1$  (фундаментальные компоненты динамической магнитной восприимчивости).

Технические детали данной методики подробно описаны в работе [18]. Все измерения проведены при температуре жидкого азота  $T = 77$  К. Геометрия наших измерений показана схематически на рис. 1. Образец, имеющий форму пластины, помещался в центральную часть соленоида, генерирующего переменное магнитное поле  $h = h_0 \cos \omega t$  с частотой  $\omega/2\pi = 130$  Гц. Неоднородность переменного магнитного поля не превышала 0.5% в пределах образца. Направление поля было параллельно поверхности пластины с точностью около  $1-2^\circ$ . Измерительная катушка наматывалась на среднюю часть образца как можно плотнее к его поверхности, чтобы минимизировать величину переменного магнитного потока в объеме между образцом и катушкой. Паразитный магнитный поток в этом зазоре, не связанный с переменным магнитным потоком собственно в образце, компенсировался с помощью дополнительной системы аксиальных катушек с изменяемым коэффициентом взаимной индукции. Одна из катушек была включена последовательно с возбуждающим соленоидом, а вторая — последовательно с приемной катушкой. Помимо компенсации паразитного магнитного потока такая схема позволяла минимизировать сигнал, соответствующий  $\chi'$ , и оставлять без изменений сдвинутый по фазе на  $\pi/2$  сигнал, связанный с  $\chi''$  (именно этот сигнал используется для последующего расчета  $j_c$ ), что дало возможность существенно уменьшить ошибку измерений, связанную с погрешностью фазового детектирования.

Образец вместе с приемной катушкой и соленоидом, генерирующим переменное поле, помещался в постоянное магнитное поле  $H_{dc}$  электромагнита. Однородность поля в зоне измерений составляла около 0.1%. Конструкция электромагнита давала возможность вращать его независимо вокруг трех ортогональных осей. Угол поворота вокруг вертикальной оси составлял  $360^\circ$ . Вращение магнита вокруг горизонтальных осей давало возможность с высокой точностью (около  $1/6^\circ$ ) ориентировать постоянное магнитное поле в кристаллографической плоскости *ab* образца.

Образец ориентировался в постоянном магнитном поле следующим образом. Сначала образец устанавливался в электромагните так, чтобы его плоскость *ab* приблизительно находилась в горизонтальной плоскости (грубая ориентировка). Для тонкой регулировки мы использовали тот факт, что магнитная восприимчивость и критический

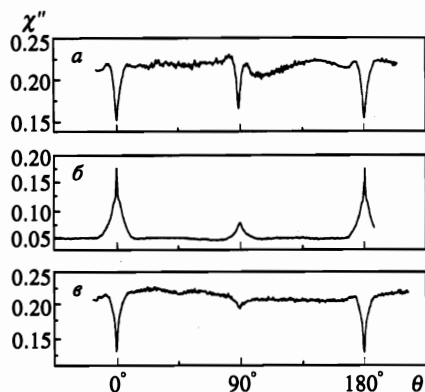


Рис. 2. Типичные зависимости  $\chi''(\theta)$ :  
 а — образец Y1,  $H_{dc} = 12$  кЭ,  $h_0 = 150$  Э;  
 б — образец Y2,  $H_{dc} = 8$  кЭ,  $h_0 = 400$  Э;  
 в — образец Y6,  $H_{dc} = 2$  кЭ,  $h_0 = 10$  Э

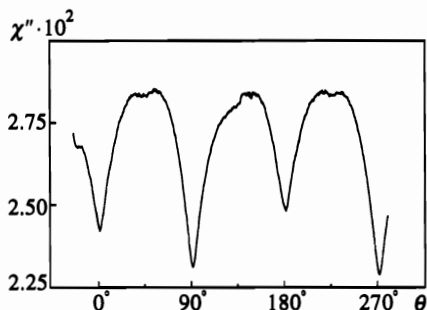


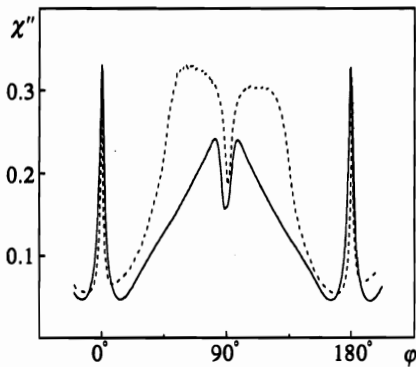
Рис. 3. Зависимость восприимчивости  $\chi''$  от угла  $\theta$  между постоянным магнитным полем и границами двойникования при  $H_{dc} = 10$  кЭ и  $T = 77$  К для текстурированного образца Sp1

ток  $j_c$  имеют резкие пики при  $H_{dc} \parallel \mathbf{ab}$  (см. [11, 20], а также ниже, рис. 4). Это соответствует резкому максимуму сигнала в регистрирующей катушке, и тонкая регулировка проводилась путем вращения магнита (и создаваемого им магнитного поля  $H_{dc} \sim 10$  кЭ) на малые углы вокруг горизонтальных осей так, чтобы соответствующий сигнал достигал максимума. Точность ориентировки ограничивалась точностью поворота механического подвеса магнита и составляла примерно  $1/6^\circ$ .

Для измерения зависимости  $\chi''(\theta)$ , где  $\theta$  угол между  $H_{dc}$  и границей двойникования, мы вращали электромагнит так, что угол  $\theta$  изменялся непрерывно от 0 до  $360^\circ$ . При этом сохранение параллельности между  $H_{dc}$  и плоскостью  $\mathbf{ab}$  обеспечивалось с точностью не хуже  $1/6^\circ$ . Типичные зависимости  $\chi''(\theta)$  при различных  $H_{dc}$  и  $h_0$  показаны на рис. 2 для образцов Y1, Y2 и Y6. Из рисунка видно, что зависимость  $\chi''(\theta)$  имеет четко выраженные пики при  $\theta = 0, 90$  и  $180^\circ$  для образца Y1 и при  $\theta = 0$  и  $180^\circ$  для образцов Y2 и Y6, что соответствует направлениям границ двойникования для этих образцов. Таким образом, выполненные эксперименты показывают, что вид зависимости  $\chi''(\theta)$  определяется макроструктурой границ двойникования в монокристалле.

Отметим, что в модели критического состояния магнитная восприимчивость  $\chi''$  обратно пропорциональна  $j_c$  при  $h_0 < h_p$  и возрастает при увеличении  $j_c$  в случае  $h_0 > h_p$ , где  $h_p$  — амплитуда переменного поля, при которой это поле проникает до центра образца (биновское поле проникновения магнитного потока, которое для наших образцов не превышало 100–150 Э). Измерения, результаты которых представлены на рис. 2а и в, проведены при  $h_0 < h_p$ , а на рис. 2б — при  $h_0 > h_p$ . Минимумы  $\chi''(\theta)$  на рис. 2а и в и максимумы на рис. 2б соответствуют максимумам критической плотности тока. С ростом  $h_0$  минимумы  $\chi''$  сменяются максимумами, что означает переход от режима  $h_0 < h_p$  к режиму  $h_0 > h_p$ .

Результаты измерений зависимости магнитной восприимчивости от угла  $\theta$  в текстурированном образце Sp1 представлены на рис. 3 ( $h_0 < h_p$ ). На первый взгляд, трудно ожидать, что границы двойникования в текстурированных образцах будут сохранять свою преимущественную ориентацию от кристаллита к кристаллиту. Однако рис. 3 по-



**Рис. 4.** Зависимости восприимчивости  $\chi''$  от угла  $\varphi$  между направлением постоянного магнитного поля и плоскостью **ab** в монокристалле Y1 при  $h_0 = 200$  Э и различных значениях магнитного поля: штрихи —  $H_{dc} = 16$  кЭ, сплошная кривая —  $H_{dc} = 6$  кЭ

казывает, что определенная корреляция все же существует. Угловая полуширина максимумов составляет около  $10^\circ$  (в монокристаллах — около  $1^\circ$ ), что, по всей видимости, говорит об относительно небольшой разориентации границ двойникования на протяжении всего текстурированного образца.

Помимо измерений зависимостей  $\chi''(\theta)$  для монокристалла Y1 была исследована зависимость восприимчивости от угла  $\varphi$  между направлением магнитного поля  $\mathbf{H}_{dc}$  и плоскостью **ab** монокристалла, причем значение угла  $\theta$  при  $\varphi = 0$  составляло  $\sim 45^\circ$ . На рис. 4 приведены угловые зависимости восприимчивости  $\chi''$  от угла  $\varphi$ . Измерения проводились при  $H_{dc} = 6$  кЭ и  $H_{dc} = 16$  кЭ и температуре 77 К. На графике отчетливо видны максимумы при направлениях поля параллельно плоскости **ab** ( $\varphi = 0$ ) и оси **c** ( $\varphi = 90^\circ$ ). Хотя изучение роли границ двойникования путем варьирования угла  $\varphi$  является менее «чистым» способом по сравнению с изменением угла  $\theta$ , вращение магнитного поля от направления вдоль оси **c** к направлению, параллельному плоскости **ab**, также сопровождается изменением угла между постоянным магнитным полем и плоскостями двойникования. Отметим, что в процессе записи этих кривых условие  $h_0 > h_p$  сменялось условием  $h_0 < h_p$  вследствие заметного роста критической плотности тока при  $\varphi$  вблизи  $90^\circ$ .

Наши результаты не зависели от магнитной и тепловой предысторий образцов, если амплитуда переменного поля  $h_0 > h_p$ . Нами были проведены серии измерений для различных магнитной, тепловой и «угловой» предысторий образцов, и при  $h_0 > h_p$  не было замечено никаких заметных различий в результатах, что, впрочем, и не удивительно, если интерпретировать этот факт в рамках модели критического состояния.

### 3.2. Расчет критической плотности тока

Результаты измерений мнимой части магнитной восприимчивости могут быть использованы для расчета критической плотности тока в рамках модели критического состояния для случая, когда  $\mathbf{H}_{dc} \parallel \mathbf{ab}$  [18]. Расчеты в достаточно общем виде для образца в форме параллелепипеда в параллельном магнитном поле, учитывающие вклад в восприимчивость компонент тока ( $j_c^{ab}$  и  $j_c^c$ ) выполнены в [21]. Следуя результатам этой работы, можно получить довольно громоздкие зависимости  $\chi''(j_c^{ab}, j_c^c)$ . Однако для интересующих нас образцов мы можем воспользоваться более простыми соотношениями.

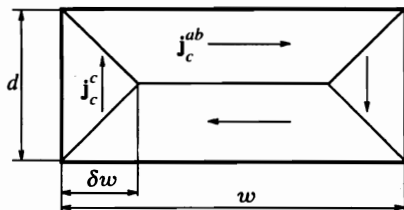


Рис. 5. Пластина в магнитном поле (размеры и направления токов)

Относительный вклад токов  $j_c^{ab}$  и  $j_c^c$  в магнитный момент  $M$  образца определяется отношением [21]

$$\psi = \frac{j_c^{ab} d}{j_c^c w}, \quad (2)$$

где  $d$  — толщина образца, а  $w$  — его длина (рис. 5). Как следует из литературы [22], величина отношения  $j_c^{ab}/j_c^c$  для YBCO не превышает 10 при  $T = 77$  К. С другой стороны, для наших образцов отношение  $w/d = 30-40$  и, следовательно, параметр  $\psi \ll 1$ . При этом, как это следует из общих формул и как легко понять из качественных соображений, основной вклад в  $M$  вносит компонента тока  $j_c^{ab}$ . Действительно, если переменное магнитное поле проникает во весь объем образца ( $h_0 > h_p$ ), то при  $\psi \ll 1$  из условия сохранения тока следует (рис. 5), что полный ток  $j_c^{ab} da$  в плоскости  $ab$  ( $a$  — ширина образца) равен полному току  $j_c^c \delta w a$  вдоль оси  $c$  ( $\delta w a$  — площадь сечения, по которому ток течет вдоль оси  $c$ ). Тогда  $\delta w/w \sim \psi \ll 1$  и с точностью  $\sim \psi$  для вычисления критического тока можно воспользоваться выражением для тонкой пластины в пренебрежении концевыми эффектами. При  $h_0 > h_p(H_{dc})$  имеем [18]

$$j_c^{ab}(H_{dc}) = \frac{3ch_0}{8\pi d} \left[ 1 - \sqrt{1 - \frac{4\pi\chi''(H_{dc})}{3}} \right], \quad (3)$$

где  $h_p = 2\pi d j_c^{ab}/c$ .

Условия применимости выражения (3) по диапазону магнитных полей можно резюмировать системой неравенств:

$$H_{c1}, h_p < h_0 \ll H_{dc}, \quad (4)$$

где  $H_{c1}$  — первое критическое поле, которое при азотных температурах для YBCO не превышает 50–80 Э. Так как для изучаемых образцов  $h_p \leq 100-150$  Э, то наш рабочий диапазон магнитных полей  $H_{dc} > 1$  кЭ и  $h_0 = 100-200$  Э.

Зависимости  $j_c^{ab}(\theta)$  для образцов Y1, Y2 и Y6 показаны на рис. 6. Из рисунков видно, что, так же как и  $\chi''(\theta)$ , кривые  $j_c^{ab}(\theta)$  имеют ярко выраженные узкие пики при углах, соответствующих направлениям границ двойникования (при  $\theta = 0, 90$  и  $180^\circ$  для образца Y1 и при  $\theta = 0$  и  $180^\circ$  для образцов Y2 и Y6). Строгая корреляция положений пиков и направлений границ двойникования в образцах позволяет сделать вывод, что двойники являются сильными центрами пиннинга при направлении вектора  $H_{dc}$  параллельно границам двойникования. Из рис. 2 и 6 видно, что вне пиков величины  $\chi''(\theta)$  и  $j_c^{ab}(\theta)$  изменяются весьма мало. Это, в частности, означает, что в процессе экспериментов магнитное поле  $H_{dc}$  оставалось в плоскости  $ab$ .

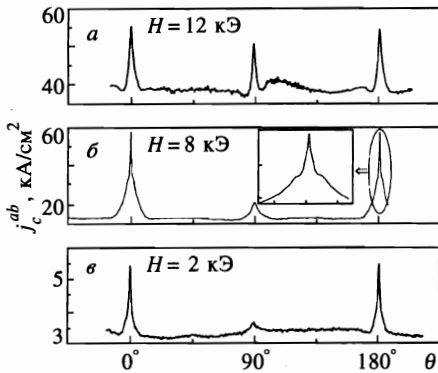


Рис. 6. Зависимости  $j_c^{ab}(\theta)$  для образцов Y1 (а), Y2 (б) и Y6 (в). На вставке показана структура пика в крупном масштабе для образца Y2 при  $H_{dc} = 8$  кЭ

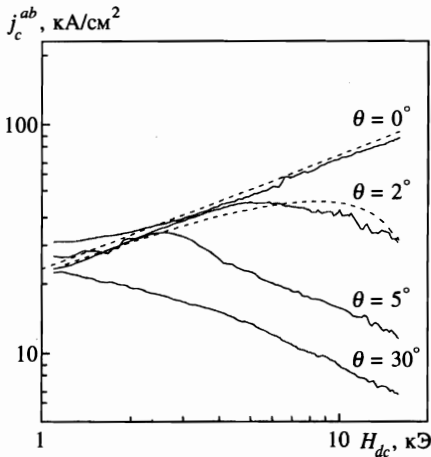


Рис. 7

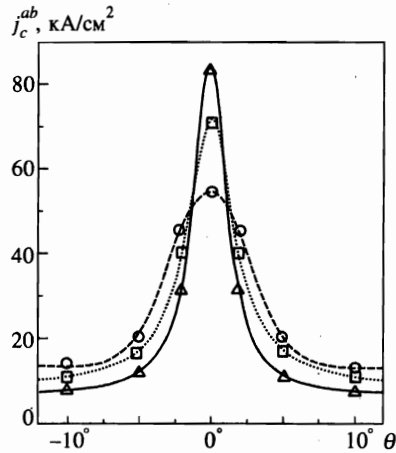


Рис. 8

Рис. 7. Кривые  $j_c^{ab}(H_{dc})$  при различных  $\theta$  для образца Y2 (сплошная линия — эксперимент, штрихи — теория)

Рис. 8. Зависимости  $j_c(\theta)$  вблизи максимума при различных значениях постоянного поля: о —  $H_{dc} = 6$  кЭ, □ —  $H_{dc} = 10$  кЭ, Δ —  $H_{dc} = 16$  кЭ (кривые проведены через экспериментальные точки)

На рис. 7 показаны зависимости  $j_c^{ab}(H_{dc})$  при различных  $\theta$  для образца Y2. Видно, что в согласии с экспериментами других авторов, критическая плотность тока монотонно убывает с ростом магнитного поля при  $H_{dc} \parallel ab$  почти во всем диапазоне углов  $\theta$ . Новым здесь является тот факт, что при ориентации магнитного поля вдоль двойников в узком диапазоне углов  $\Delta\theta \leq 5^\circ$  около пика функции  $j_c^{ab}(\theta)$  наблюдается сильный пик-эффект. Диапазон углов, в котором обнаруживается пик-эффект, практически совпадает с шириной пиков на кривых  $j_c^{ab}(\theta)$ . Величина пика в магнитолевой зависимости критического тока тем больше, чем меньше отклонение вектора  $H_{dc}$  от плоскости двойника. При  $\theta = 0$  мы не достигли максимума на кривых  $j_c^{ab}(H_{dc})$  вплоть до поля 20 кЭ.



Приведенные результаты демонстрируют прямую связь пик-эффекта в монокристаллах YBCO с пиннингом на границах двойникования.

На вставке к рис. 6 и на рис. 8 показана структура пика на кривой  $j_c^{ab}(\theta)$  при разных значениях постоянного поля (образец Y2). Из рис. 8 видно, что пик становится уже и выше с увеличением  $H_{dc}$ . Отметим, что пик имеет характерную структуру: узкую (шириной  $\sim 1^\circ$ ) центральную часть и более широкий и низкий (примерно на порядок ниже основного максимума) «пьедестал».

Аналогично была рассчитана зависимость  $j_c(H_{dc}, \varphi)$  при фиксированном угле  $\theta = 45^\circ$  для образца Y1. Оказалось, что пик-эффект наблюдается при ориентации  $H_{dc}$  вблизи оси  $c$  в диапазоне углов  $\Delta\varphi \leq 40^\circ$ . Этот факт также указывает на связь пик-эффекта с пиннингом на границах двойникования.

#### 4. ТЕОРИЯ

Для определения критической плотности тока нам необходимо найти энергию Гиббса  $G$  вихревой решетки, взаимодействующей с системой квазипланарных дефектов, моделирующих границы двойникования. Эта энергия содержит три основных слагаемых — энергию  $G_p$ , непосредственно связанную с пиннингом вихрей на дефектах, энергию  $G_e$  упругой деформации вихревой решетки и магнитную энергию  $G_m$ . Будем полагать, что двойники лежат в плоскостях, параллельных  $yz$  (см. рис. 1). Система двойников не является строго периодической, но отклонение от среднего расстояния  $L_t$  между двойниками не слишком велико [19]. Для простоты изложения мы отвлечемся от кристаллографической анизотропии YBCO, поскольку для данной геометрии задачи (магнитное поле в плоскости  $ab$ ) ее учет не влияет на вид полученных результатов и сводится к простому переопределению ряда констант.

##### 4.1. Модель двойника

Следуя работе [16], будем полагать, что около границ двойникования могут локализоваться различные дефекты. Как следствие, в области границ двойникования могут заметно меняться сверхпроводящие свойства образца. Будем полагать также, что толщина дефектной области  $l_{tx} \ll L_t$ . Вихрь, находящийся вне дефектной области, связанной с двойником, взаимодействует с дефектами в объеме образца, и потенциал пиннинга на единицу длины вихря удобно записать в виде

$$U_p = -\frac{H_c^2 \xi^2}{8\pi} f_p, \quad (5)$$

где  $H_c$  — термодинамическое критическое поле,  $\xi$  — длина когерентности,  $f_p \ll 1$  — безразмерный потенциал пиннинга. При перемещении вихря в область вблизи границ двойникования естественно предположить, что потенциал пиннинга возрастает по абсолютной величине, и в уравнении (5) мы должны заменить  $f_p$  на  $f_p + \delta f_{px}$ . В общем случае потенциал пиннинга неоднороден и при перемещении вихря в плоскости двойника. Пусть характерная величина неоднородности  $f_p$  вдоль оси  $y$  равна  $\delta f_{py}$ , а характерный пространственный масштаб этой неоднородности  $l_{ty}$ . Тогда для перемещения вихря вдоль плоскости двойника на единицу его длины надо подействовать силой

$$F_{py} = \frac{H_c^2 \xi^2}{8\pi} \frac{\delta f_{py}}{l_{ty}}. \quad (6)$$

Далее нами рассматривается область достаточно больших магнитных полей, когда магнитная индукция  $B$  в образце много больше характерного поля  $B_0 = \Phi_0/L_t^2$ , где  $\Phi_0$  — квант магнитного потока. Это условие означает, что постоянная вихревой решетки  $d_f \sim \sqrt{\Phi_0/B} \ll L_t$  (для наших образцов  $B_0 \approx 100$  Гс). Кроме того, ниже предполагается, что неоднородность потенциала пиннинга мелкомасштабная и

$$l_{tx,y} \ll d_f \ll L_t. \quad (7)$$

Первое из неравенств (7) позволяет считать рассматриваемый тип дефектов квазипланарными, а второе — использовать для решения поставленной задачи уравнения теории упругости для вихревой решетки с граничными условиями, заданными на плоскостях двойникования.

#### 4.2. Критический ток (магнитное поле параллельно плоскостям двойникования)

Для того чтобы выделить основные положения, заложенные нами в теоретическую модель, мы подробно изучим простейший случай — пиннинг вихревой решетки системой двойников, когда магнитное поле  $\mathbf{H}_{dc}$  параллельно плоскостям двойникования и находится в плоскости  $\mathbf{ab}$ , а объемный пиннинг мал, и им мы пока пренебрегаем. В отсутствие транспортного тока уравнения теории упругости для смещений вихревой решетки в областях между двойниками имеют вид [1]

$$(C_{11} - C_{66}) \frac{\partial}{\partial x_i} (\nabla \mathbf{u}) + C_{66} \Delta u_i + C_{44} \frac{\partial^2 u_i}{\partial z^2} = 0, \quad (8)$$

где  $i = x, y$ ;  $C_{11}$ ,  $C_{44}$  и  $C_{66}$  — модули всестороннего сжатия, изгиба и сдвига,  $\nabla$  и  $\Delta$  — двумерные операторы в плоскости  $xu$ . Как будет видно из дальнейшего, для нас существенны лишь «длинноволновые» деформации с характерным волновым вектором  $q$ , таким что  $(qL_t)^2 \ll 1$ . Для изучаемых образцов расстояние  $L_t$  между границами двойникования больше лондоновской глубины проникновения  $\lambda$ . Поэтому в интересующей нас ситуации  $(q\lambda)^2 \ll 1$ , и в дальнейшем мы пренебрегаем пространственной дисперсией величин  $C_{11}$  и  $C_{44}$ . Тогда в рассматриваемой области магнитных полей  $H_{c1} \ll B \ll H_{c2}$  [1]

$$C_{66} = \frac{B\Phi_0}{(8\pi\lambda)^2} \ll C_{11} = C_{44} = \frac{B^2}{4\pi}, \quad (9)$$

а упругая энергия единицы объема может быть представлена в виде

$$G_e = \frac{1}{2V} \int d^3r \left\{ (C_{11} - C_{66})(\nabla \mathbf{u})^2 + C_{66}(\mathbf{e} \nabla, \mathbf{u})^2 + C_{44} \left( \frac{\partial \mathbf{u}}{\partial z} \right)^2 \right\}, \quad (10)$$

где  $\mathbf{e} = \{1, 1\}$  — вектор в плоскости  $xu$ .

В «невозмущенном» состоянии, когда вихри не взаимодействуют с двойниками,  $G_e = 0$ . При возникновении пиннинга часть вихрей цепляется за границы двойникования, понижая свободную энергию единицы объема на величину

$$G_p = -\frac{H_c^2 \xi^2}{8\pi} \delta f_{px} n_p, \quad (11)$$

где  $n_p$  — плотность запиннингованных вихрей. Однако при появлении пиннинга возникают и деформации, соответственно теперь  $G_e > 0$ . При заданной величине  $n_p$  решетка «захватывается» так, чтобы ее упругая энергия была минимальна. Возможны разные способы «захвата» решетки двойниками. В простейшем одномерном случае в решетке возникают лишь смещения, имеющие  $x$ -компоненту, зависящую от координаты  $x$ :  $\mathbf{u} = \{u_x(x), 0\}$ . Однако в этом случае появляются термодинамически невыгодные сжимающие и растягивающие деформации ( $C_{11} \gg C_{66}$ ). Поэтому реализуется двумерная конфигурация захвата решетки вихрей двойниками, для которой

$$\nabla \mathbf{u} = 0. \quad (12)$$

Рассмотрим объем вихревой решетки между двумя двойниками, на которых захвачены вихри. Пусть расстояние между этими двойниками  $L$  и в общем случае  $L \geq L_t$ . Представим вектор смещения решетки в виде фурье-разложений по  $y$ :

$$u_j = \sum_q u_{qj}(x) e^{iqy}, \quad j = x, y. \quad (13)$$

Подставляя разложения (13) в (8), с учетом условия (12) получаем

$$u_{qx} = C_{1q} e^{qx} + C_{2q} e^{-qx}, \quad u_{qy} = -i (C_{1q} e^{qx} - C_{2q} e^{-qx}). \quad (14)$$

Коэффициенты  $C_{jq}$  удобно выразить через компоненту  $u_x$  смещения вихревой решетки на соседних границах двойникования  $u_x(0) = u_x^\alpha$  и  $u_x(L) = u_x^{\alpha+1}$ :

$$\begin{aligned} u_{qx} &= \frac{1}{\text{sh}(qL)} \{u_{qx}^{\alpha+1} \text{sh}(qx) + u_{qx}^\alpha \text{sh}[q(L-x)]\}, \\ u_{qy} &= \frac{i}{\text{sh}(qL)} \{u_{qx}^{\alpha+1} \text{ch}(qx) - u_{qx}^\alpha \text{ch}[q(L-x)]\}. \end{aligned} \quad (15)$$

Подставляя (15) в (10), получаем выражения для упругой энергии единицы объема:

$$G_e = \frac{2C_{66}}{L} \sum_q q \langle |u_{qx}^\alpha|^2 \rangle \text{cth}(qL), \quad (16)$$

где  $\langle \dots \rangle$  означает усреднение по двойникам, а все средние  $\langle u_{qx}^\alpha u_{qx}^{\alpha+1} \rangle = 0$ . Последнее предположение выполняется, если двойники расположены случайно и отклонение от среднего положения больше или порядка  $d_f$ . В рамках нашей модели величина  $G_e$  может быть найдена точно. Однако, чтобы избежать громоздких выкладок, мы проведем дальнейшие вычисления с точностью до постоянных множителей.

Для возникновения заметного пиннинга необходимы смещения порядка постоянной решетки  $d_f$  с характерным волновым вектором  $q_0 \sim 1/\Delta L$ , где  $\Delta L$  — длина вихревого ряда, захваченного на границы двойникования. С другой стороны, из (16) следует

$$G_e \approx \gamma \frac{C_{66} d_f^2}{L^2} \begin{cases} 1, & q_0 L \ll 1, \\ q_0 L, & q_0 L \gg 1, \end{cases} \quad (17)$$

где  $\gamma = \text{const} < 1$ . (Так, в модели, где смещения на границах двойникования равномерно распределены в интервале  $\pm d_f/2$ , легко найти  $\gamma = 1/6$ ). Следовательно, при одинаковых амплитудах смещения (и, соответственно, примерно одинаковых  $n_p$ ) наиболее термодинамически выгодны длинноволновые деформации с  $q_0 L \ll 1$ . Впрочем, это утверждение достаточно очевидно. Итак, оптимальная структура захваченного границами двойникования магнитного потока характеризуется участками запиннигованных рядами вихрей с характерной длиной  $\Delta L \sim 1/q_0 \gg L$ , которая в идеальном случае (нулевая температура, абсолютно параллельные границы двойникования, отсутствие предыстории и т. п.) должна быть порядка размера образца вдоль оси  $y$ . Тогда в нашей модели имеем очевидную оценку для плотности захваченных вихрей

$$n_p \approx n_0 d_f / L \approx 1 / L d_f, \quad (18)$$

где  $n_0 = B / \Phi_0 \approx 1 / d_f^2$  — средняя плотность вихрей в образце.

Характерное расстояние  $L$  между запиннигованными рядами должно определяться условием минимума энергии Гиббса. Пользуясь выражениями (9), (11), (17) при  $q_0 L \ll 1$  и соотношениями теории Гинзбурга–Ландау, получаем

$$G \approx -\frac{1}{4\gamma C_{66}} \left( \frac{H_c^2 \xi^2}{8\pi} n_0 \delta f_{px} \right)^2, \quad L = \frac{16\pi\gamma C_{66} d_f}{H_c^2 \xi^2 n_0 \delta f_{px}} > L_t, \quad B < B_t = \frac{(2\pi\gamma)^2 \Phi_0}{L_t^2 \delta f_{px}^2}, \quad (19)$$

$$G \approx -\frac{H_c^2 \xi^2 d_f}{8\pi L_t} n_0 \delta f_{px} + \gamma C_{66} \frac{d_f^2}{L_t^2} < 0, \quad L = L_t, \quad B > B_t. \quad (20)$$

Так как  $2\pi\gamma \sim 1$ , а  $\delta f_{px} \ll 1$ , то для наших образцов магнитное поле  $B_t$  больше или порядка нескольких тесла. Поскольку в рассматриваемом диапазоне полей  $B \approx H_{dc}$ , то  $G \propto -H_{dc}$ ,  $L \propto 1/\sqrt{H_{dc}}$  при  $H_{dc} < B_t$ . Итак, с ростом  $H_{dc}$  величина  $G$  уменьшается, так как уменьшается расстояние  $L$  между запиннигованными рядами вихрей.

Как уже говорилось в разд. 3, нами измерена величина тока, текущего в плоскости  $ab$  (или в плоскости  $xz$  в обозначениях данного раздела). Тогда сила Лоренца  $F_L$ , действующая на вихри, имеет только  $y$ -компоненту и  $F_L = j_x B / c$ , где  $j_x$  —  $x$ -компонента транспортного тока. Наша задача — вычислить критическую величину  $j_x = j_{cx}$ , при которой вихревая структура приходит в движение. Для простоты предположим, что компонента критического тока  $j_{cb}$ , обусловленная объемным пиннингом, аддитивно добавляется к критическому току  $j_{ct}$ , связанному с пиннингом на границах двойникования, и  $j_{cx} = j_{ct} + j_{cb}$ . Такое приближение дает правильный результат в двух предельных случаях:  $j_{cb} \gg j_{ct}$  и  $j_{cb} \ll j_{ct}$ .

К срыву вихрей с центров пиннинга может приводить один из трех процессов. Во-первых, вихри, захваченные на двойниках, могут двинуться вдоль них, увлекая деформированную вихревую решетку, если

$$\frac{L}{d_f} \frac{(j_x - j_{cb})\Phi_0}{c} \geq \frac{H_c^2 \xi^2 \delta f_{py}}{8\pi l_{ty}},$$

где отношение  $L/d_f$  приблизительно равно количеству вихрей в объеме на один вихрь, захваченный на границы двойникования. Тогда критический ток для первого процесса

$$\frac{j_{ct}}{j_0} \sim \frac{\xi^2}{L\sqrt{h}} \frac{\delta f_{py}}{l_{ty}}, \quad h = \frac{H_{dc}}{H_{c2}}, \quad (21)$$

где  $j_0 \sim c\Phi_0/\lambda^2\xi$  — ток распаривания в теории Гинзбурга–Ландау.

Во-вторых, вихри будут сорваны с границ двойникования, если дополнительная упругая энергия  $G_L$ , обусловленная деформацией вихревой решетки транспортным током, превышает выигрыш в свободной энергии за счет пиннинга. Для вычисления  $G_L$  воспользуемся уравнениями (8)–(12), добавив в правую часть (8) слагаемое, соответствующее  $F_L$ . Полагая, что транспортный ток меньше критического и вихревая решетка неподвижна, а также, как и ранее,  $\langle u_x^\alpha \rangle = 0$ , вычислим полную упругую энергию запиннигованной вихревой решетки. Нетрудно убедиться, что ее можно представить в виде суммы двух слагаемых,  $G_e + G_L$ . Первое из них определяется формулами (16), (17) и связано с собственно захватом вихрей двойниками. Второе слагаемое обусловлено действием силы Лоренца и равно

$$G_L = \frac{1}{6C_{66}} \left[ \frac{H_{dc}(j - j_{cb})L}{c} \right]^2. \quad (22)$$

Величина критического тока при  $H_{dc} < B_t$  определяется из условий

$$\begin{aligned} \frac{\partial}{\partial L} (G_p + G_e + G_L) &= 0, \\ G_p + G_e + G_L &= 0. \end{aligned} \quad (23)$$

Тогда с точностью до констант получим

$$\frac{j_{ct}}{j_0} \sim \frac{\xi}{L} \delta f_{px} \sim \delta f_{px}^2 \sqrt{h}, \quad H_{dc} < B_t. \quad (24)$$

Рост критического тока с магнитным полем связан с тем, что характерное смещение ( $\sim d_f$ ) в вихревой решетке, необходимое для захвата вихря границами двойникования, убывает с ростом  $H_{dc}$ . Соответственно, при фиксированном вкладе в энергию Гиббса  $G_e$  растет плотность запиннигованных вихрей  $n_p$ . При  $H_{dc} > B_t$  величина  $n_p$  насыщается, и рост  $j_c(H_{dc})$  сменяется падением. Отметим, однако, что этот случай реализуется в области больших магнитных полей, которая не исследовалась в нашем эксперименте и в дальнейшем не обсуждается.

И, наконец, третий механизм срыва вихрей связан с тем, что вихревая решетка может прийти в движение из-за пластической деформации вблизи границ двойникования при неподвижных вихрях, захваченных на двойниках. Расчет, аналогичный приведенному в работе [23] (при учете формулы (19) для  $L$ ), дает

$$\frac{j_{ct}}{j_0} \sim \beta_L \frac{\xi}{L} \sim \beta_L \delta f_{px} \sqrt{h}, \quad (25)$$

где  $\beta_L \sim 0.1$ – $0.2$  постоянная, аналогичная постоянной Линдемана в теории плавления. Как и в предыдущем случае, уравнение (25) предсказывает наличие пик-эффекта, обусловленного пиннингом на двойниках.

Естественно, что реализуется тот механизм перехода в резистивный режим, который соответствует меньшему току. Итак, развитая теория предсказывает рост компоненты критического тока  $j_{ct}$  с магнитным полем в диапазоне полей  $B_0 < H_{dc} < B_t$ , если квазипланарный дефект имеет достаточно сильную продольную неоднородность, такую что

$$\frac{\delta f_{py}}{l_{ty}} > \min \{ \delta f_{px} \beta_L \} \frac{\sqrt{h}}{\xi}. \quad (26)$$

В частности, пик-эффект в поперечном токе отсутствует в случае, когда дефект, обусловленный двойником, является идеальной плоскостью. Отметим в заключение этого раздела, что для изучаемых образцов  $\delta f_{px}$  порядка нескольких сотых (см. разд. 5), и, следовательно,  $\delta f_{px} < \beta_L$ . Тогда из (26) следует, что в нашей модели пик-эффект существует в области полей  $h < h^* = (\xi \delta f_{py} / l_{ty} \delta f_{px})^2$ . С другой стороны, область роста  $j_c(H_{dc})$  существует, если только  $B_t / H_{c2} < h^*$  или

$$\delta f_{py} > l_{ty} / L_t. \quad (27)$$

Это неравенство и есть условие существования пик-эффекта в нашей модели. Ниже предполагается, что продольная неоднородность двойника достаточно велика и условие (27) выполняется.

#### 4.3. Угловая зависимость критического тока

Пусть теперь поле  $H_{dc}$  отклоняется на некий угол  $\theta$  в плоскости  $xz$ . При этом вектор индукции  $\mathbf{B}$  магнитного поля в образце составляет с границей двойникования угол  $\beta(r)$ , плавно изменяющийся в пространстве в пределах  $0 < \beta(r) < \theta$ . Тогда при вычислении свободной энергии надо учесть гиббсовское слагаемое

$$G_m = -\frac{1}{4\pi V} \int dV \mathbf{B} \mathbf{H}, \quad (28)$$

а в уравнениях для упругих смещений вихрей учесть производные  $\partial u / \partial z$ . При этом мы выбираем в качестве недеформированного (основного) состояния такую конфигурацию вихревой решетки, при которой вихри направлены вдоль плоскостей двойникования. В дальнейшем мы будем рассматривать лишь область малых углов  $\theta \ll 1$ . Тогда можно пользоваться уравнениями теории упругости в виде (8), полагая что ось  $z$  лежит в плоскости двойника. Кроме того, при  $B \gg H_{c1}$  мы можем считать, что  $B \approx H$ . Тогда из (28) получим

$$G_m = \text{const} + \frac{H_{dc}^2}{8\pi} \langle (\theta - \beta)^2 \rangle. \quad (29)$$

Подставляя в (8) фурье-разложение вектора смещения в виде

$$u_j = \sum_q u_{qj}(x) e^{iqy + ikz}, \quad j = x, y,$$

с помощью (10) и (12) получаем по аналогии с (16) выражение для упругой энергии

$$G_e = \frac{C_{66}}{L} \sum_{q,k} \frac{\langle |u_{qkx}^\alpha|^2 \rangle}{\text{sh}^2(pL)} \frac{(p+q) [(p^2+q^2) \text{sh}(2pL) - 2pL(p-q)^2]}{4pq} + \frac{C_{44}}{2} \langle \beta^2 \rangle, \quad (30)$$

где

$$p = \sqrt{q^2 + C_{44}k^2 / C_{66}},$$

и мы учли, что

$$\beta \approx \sqrt{\left(\frac{\partial u_x}{\partial z}\right)^2 + \left(\frac{\partial u_y}{\partial z}\right)^2}. \quad (31)$$

С помощью (30) и (31) легко убедиться, что при одинаковой амплитуде смещений ( $\langle |u_i^\alpha|^2 \rangle \sim d_f^2$ , когда возникает эффективный пиннинг на двойниках) термодинамически более выгодны длинноволновые деформации, такие что  $pL \ll 1$ . Впрочем, этот результат достаточно очевиден. Таким образом, характерный размер области вихревой решетки, захваченной на двойнике, вдоль направлений  $z$  и  $y$  много больше  $L \geq L_t$ . Тогда для плотности энергии пиннинга можно по-прежнему пользоваться выражениями (11) и (18), а для упругой энергии по аналогии с (17) получить оценку

$$G_e = \gamma \frac{C_{66} d_f^2}{L^2} + \frac{C_{44}}{2} \langle \beta^2 \rangle. \quad (32)$$

Поскольку угол  $\beta$  знакопостоянен и меняется достаточно плавно, то  $\sqrt{\langle \beta^2 \rangle} \sim \langle \beta \rangle$ . Тогда, минимизируя сумму  $G = G_p + G_e + G_m$  по  $L$  и  $\beta$ , получаем с точностью до констант, что  $\langle \beta \rangle \sim \theta/2$  и

$$G \approx -\frac{H_{dc} \Phi_0 \delta f_{px}^2}{4\gamma \lambda^2 (8\pi^2)^2} + \frac{H_{dc}^2 \theta^2}{32\pi}, \quad B_0 < B < B_t, \quad (33)$$

где мы учли соотношения (9) и равенство  $B \approx H_{dc}$ . Из (33) следует, что рассматриваемая структура запиннигованного потока существует, если

$$\theta < \theta_m \sim \frac{\delta f_{px}}{\kappa \sqrt{h}}, \quad (34)$$

где  $\kappa = \lambda/\xi$  — параметр Гинзбурга–Ландау.

Полагая, что выполнено условие (26) и  $\delta f_{px} < \beta_L$ , найдем угловую зависимость критического тока. Для этого воспользуемся уравнениями типа (23), в которых следует учесть дополнительное гиббсовское слагаемое  $G_m$ . При  $\theta \ll 1$  с точностью до малых поправок выражение для энергии упругой деформации, обусловленной силой Лоренца, сохраняет вид (22). Тогда с помощью (32), (34) найдем

$$\frac{j_{ct}}{j_0} \sim \delta f_{px}^2 h^{1/2} \left[ \sqrt{1 - \left(\frac{\theta}{\theta_m}\right)^2} - \frac{1}{3} \right]^{1/2} \left[ 1 + \sqrt{1 - \left(\frac{\theta}{\theta_m}\right)^2} \right]^{3/2}, \quad \theta < \theta_m. \quad (35)$$

Ширина пика в зависимости  $j_{ct}(\theta)$  порядка  $\theta_m$ , при этом вблизи него должен наблюдаться пик-эффект.

## 5. ОБСУЖДЕНИЕ РЕЗУЛЬТАТОВ

Теоретические и экспериментальные зависимости  $j_c$  от  $H_{dc}$  показаны на рис. 7. Как видно из рисунков, теория качественно правильно описывает эксперимент. Более того, рост  $j_{ct} \propto \sqrt{h}$  в области пика при  $\theta = 0$  описывает поведение экспериментальных

кривых с весьма хорошей точностью. Полагая, что  $\lambda = 2000\text{--}3000 \text{ \AA}$ ,  $\kappa = 60$ , можно оценить  $j_0 \sim 10^9 \text{ A/cm}^2$ ,  $H_{c2} \sim 30 \text{ Тл}$  и убедиться, что для количественно правильного значения  $j_{ct}$  необходимо иметь  $\delta f_{px}$  порядка нескольких сотых. Тогда ширина пика  $\theta_m$  в соответствии с (35) порядка нескольких десятых градуса и более чем на порядок уже пика, наблюдаемого в эксперименте.

Причин уширения пика в угловой зависимости критического тока может быть несколько. Во-первых, причины чисто измерительного характера. Так, в процессе эксперимента направление суммарного магнитного поля меняется, так как векторы  $\mathbf{H}_{dc}$  и  $\mathbf{h}_{ac}$  не параллельны. Кроме того, плоскости двойникования могут не быть строго параллельными. Однако существует причина уширения пика, связанная и с физическими свойствами образца. Во-первых, дефектная область вблизи двойника имеет конечную толщину, что не учитывается при расчете упругой энергии вихревой решетки. Во-вторых, все наши оценки тока и ширины пика сделаны в модели изотропного образца с некоторыми эффективными свойствами (см., например, формулы (9)). В действительности монокристаллы YBCO существенно анизотропны. Эта анизотропия может приводить к смягчению модуля изгиба вихрей  $C_{44}$ , если направление вихря имеет компоненту вдоль кристаллографической оси  $c$ , а такая компонента обязательно есть из-за наличия  $y$ -компоненты вектора смещений решетки вихрей. В данной работе мы не будем анализировать, какой из механизмов приводит к реально наблюдаемому уширению пика в угловой зависимости критического тока, поскольку это отдельная и довольно сложная проблема. Для описания эксперимента мы полагали ширину пика  $\theta_m$  подгоночным параметром.

Как отмечено во Введении, в ряде экспериментов двойники проявляют себя как слабые связи, т. е. как каналы для проникновения вихрей в образец. Анализ цитированных источников [2–16] позволяет проследить тенденцию, согласно которой границы двойникования является слабой связью преимущественно в области больших магнитных полей. Это обстоятельство, возможно, обусловлено подавлением магнитным полем сверхпроводящего параметра порядка в области, содержащей большое число дефектов.

Итак, нами проведены измерения магнитной восприимчивости в монокристаллах и плавленых образцах YBCO. Показано, что при вращении магнитного поля в плоскости  $\mathbf{ab}$  и от оси  $c$  к  $\mathbf{ab}$  угловые зависимости восприимчивости и критической плотности тока имеют пики при ориентации поля вдоль плоскостей двойникования. В области этих пиков наблюдается пик-эффект в магнитолевой зависимости  $j_c$ . Полученные результаты позволяют утверждать, что в изучаемой области магнитных полей (1–20 кЭ) и азотной температуре двойники являются сильными центрами пиннинга. Наблюдаемые эффекты удастся объяснить в рамках теории пиннинга вихревой решетки на системе планарных дефектов.

Работа выполнена в рамках направления «Сверхпроводимость» (проекты 93027, 93087, 95046) и при частичной поддержке Российского фонда фундаментальных исследований (грант 96-02-18949).

## Литература

1. G. Blatter, M. V. Feigel'man, V. B. Geshkenbein et al., Rev. Mod. Phys. **66**, 1125 (1994).



2. V. K. Vlasko-Vlasov, L. A. Dorosinskii, A. A. Polyanskii et al., *Phys. Rev. Lett.* **72**, 3246 (1994).
3. W. K. Kwok, J. A. Fendrich, C. J. van der Beek, and G. W. Grabtree, *Phys. Rev. Lett.* **73**, 2614 (1994).
4. M. Turchinskaya, D. L. Kaiser, F. W. Gayle et al., *Physica C* **216**, 205 (1993).
5. Ъ. Welp, T. Gardiner, D. O. Gunter et al., *Phys. Rev. Lett.* **74**, 3713 (1995).
6. E. M. Gyorgy, R. B. van Dover, L. F. Schneemeyer et al., *Appl. Phys. Lett.* **56**, 2465 (1990).
7. R. B. Flippen, T. R. Askew, and Ruixing Liang, *Physica C* **231**, 352 (1994).
8. C. A. Duran, P. L. Gammel, D. J. Bishop et al., *Phys. Rev. Lett.* **74**, 3712 (1995).
9. M. Oussena, P. A. J. de Groot, S. J. Porter et al., *Phys. Rev. B* **51**, 1389 (1995).
10. M. Oussena, P. A. J. de Groot, A. V. Volkozub et al., *Phys. Rev. Lett.* **76**, 2559 (1996).
11. L. M. Fisher, A. V. Kalinov, J. Mirkovič et al., *Appl. Supercond.* **2**, 639 (1994).
12. A. A. Zhukov, H. Kupfer, M. Kliner et al., *Inst. Phys. Conf. Ser. № 148*, IOP Publishing Ltd. (ed. by D. Dew-Huges), Bristol & Philadelphia (1995), p. 275.
13. P. H. Kes, A. Pruijboom, J. van der Berg, and J. A. Mydosh, *Cryogenics* **29**, 228 (1989).
14. G. Blatter, J. Rhyner, and V. M. Vinokur, *Phys. Rev. B* **43**, 7826 (1991).
15. E. B. Sonin, *Phys. Rev. B* **48**, 10487 (1993).
16. A. I. Larkin, M. C. Marchetti, and V. M. Vinokur, *Phys. Rev. Lett.* **16**, 2992 (1995).
17. V. I. Voronkova and Th. Wolf, *Physica C* **218**, 175 (1993).
18. L. M. Fisher, V. S. Gorbachev, N. V. Il'in et al., *Phys. Rev. B* **46**, 10986 (1992).
19. T. Roy and T. E. Mitchel, *Phil. Mag. A* **63**, 225 (1991).
20. M. Tachiki and S. Takahashi, *Sol. St. Comm.* **72**, 1083 (1989).
21. L. M. Fisher, A. V. Kalinov, S. E. Savel'ev, and V. A. Yampol'skii, in *Proceedings of the 8th Internat. Workshop on Critical Currents in Superconductors (8th IWCC)*, Japan, Kitakyushu, May 27–29 (1996), p. 213.
22. P. H. Kes, *Proceedings of the 8th Internat. Workshop on Critical Currents in Superconductors (8th IWCC)*, Japan, Kitakyushu, May 27–29 (1996), p. 23.
23. M. C. Marchetti and D. R. Nelson, *Phys. Rev. B* **42**, 9938 (1990).